

**Совет Безопасности**

Distr.: General
6 November 2017
Russian
Original: English

**Письмо Генерального секретаря от 3 ноября 2017 года на имя
Председателя Совета Безопасности**

Имею честь настоящим препроводить письмо Генерального директора Организации по запрещению химического оружия (ОЗХО) от 2 ноября 2017 года (см. приложение). Указанное письмо препровождает доклад миссии ОЗХО по установлению фактов в Сирийской Арабской Республике относительно предполагаемого инцидента в Лтамене, Сирийская Арабская Республика, 30 марта 2017 года.

Буду признателен за доведение настоящего письма и приложения к нему до внимания членов Совета Безопасности.

(Подпись) Антониу Гутерриш



Приложение

[Подлинный текст на английском, арабском, испанском, китайском, русском и французском языках]

Имею честь препроводить Вам записку Технического секретариата «Доклад миссии Организации по запрещению химического оружия по установлению фактов в Сирии относительно предполагаемого инцидента в Лтамене, Сирийская Арабская Республика, 30 марта 2017 года» (см. добавление).

(Подпись) Ахмет Узюмджю

Добавление

[Подлинный текст на английском, арабском, испанском, китайском, русском и французском языках]

Записка Технического секретариата

Доклад миссии Организации по запрещению химического оружия по установлению фактов в Сирийской Арабской Республике относительно предполагаемого инцидента в Лтамене, Сирийская Арабская Республика, 30 марта 2017 года

1. Резюме

1.1 Во время проведения анализа информации относительно предполагаемого инцидента, который произошел ранее в одном из районов города Лтамена, провинция Хама, миссия ОЗХО по установлению фактов (МУФ) была информирована о предполагаемом применении химиката в качестве оружия в другом районе того же самого города 30 марта 2017 года. Основное внимание уделялось применению химического оружия в Хан-Шейхуне 4 апреля 2017 года, однако при сборе фактов была получена дополнительная информация относительно возможного применения химического оружия в Лтамене.

1.2 Поскольку МУФ была не в состоянии посетить место предполагаемого инцидента в короткие сроки после того, как он произошел, она опросила различных очевидцев, в том числе пострадавших и лечащий медицинский персонал, а также получила экологические пробы, включая части боеприпасов, находясь в соседней стране.

1.3 Выводы были сделаны по итогам анализа информации и дополнительного материала, полученных во время проведения опросов, анализа экологических проб и последующего сопоставления и подтверждения доказательств.

1.4 По причине ограничений, касающихся некоторых доказательств, МУФ была не в состоянии с полной уверенностью установить применение химического оружия. Вместе с тем собранные факты позволяют МУФ установить следующее:

- а) наличие зарины в пробах, отобранных в предполагаемом месте инцидента;
- б) соответствие симптомов, которые наблюдались у пострадавших, доставленных из того места и в то время, а также методов их лечения утверждению о поражении зарином; и
- в) соответствие частей боеприпасов, полученных из предполагаемого места инцидента, утверждению о применении химического оружия.

1.5 Следовательно, МУФ в состоянии сделать вывод о том, что с крайне высокой вероятностью зарин был применен в качестве химического оружия на юге Лтамены 30 марта 2017 года.

2. Правовая основа

2.1 МУФ была создана в мае 2014 года «для установления фактов, связанных с утверждениями о применении токсичных химикатов, предположительно хлора, во враждебных целях в Сирийской Арабской Республике» и основана на полномочиях Генерального директора согласно Конвенции о химическом оружии (далее «Конвенция»), согласно которым он всегда стремится отстаивать предмет и цель Конвенции, и эти полномочия были усилены соответствующими решениями Исполнительного совета ОЗХО (далее «Совет») и резолюцией 2118 (2013) Совета Безопасности Организации Объединенных Наций.

2.2 Круг ведения МУФ был взаимно согласован между ОЗХО и Сирийской Арабской Республикой посредством обмена письмами между Генеральным директором ОЗХО и правительством Сирийской Арабской Республики от 1 и 10 мая 2014 года соответственно (приложение к записке Технического секретариата S/1255/2015 от 10 марта 2015 года).

2.3 Продолжение работы МУФ было впоследствии одобрено Советом в решении ЕС-М-48/DEC.1 от 4 февраля 2015 года, как было упомянуто в резолюции 2209 (2015) Совета Безопасности Организации Объединенных Наций и впоследствии в решении ЕС-М-50/DEC.1 от 23 ноября 2015 года. В двух этих решениях Совета и в резолюции 2209 (2015) содержится требование о том, чтобы МУФ изучила всю имеющуюся информацию, касающуюся утверждений о применении химического оружия в Сирийской Арабской Республике, включая информацию, предоставленную Сирийской Арабской Республикой и другими сторонами.

2.4 О МУФ также говорится в резолюции 2235 (2015) Совета Безопасности Организации Объединенных Наций о создании совместного механизма ОЗХО-Организации Объединенных Наций по расследованию (СМР), а также в резолюции 2319 (2016) Совета Безопасности Организации Объединенных Наций о продлении мандата СМР еще на один год.

2.5 Мандат МУФ не предусматривает задачу установления виновных в предполагаемом применении¹.

3. Методология

3.1 МУФ руководствовалась той же методологией, которая применялась во время проведения предыдущих миссий. С подробной информацией об этой методологии можно ознакомиться в предыдущих докладах, поэтому она не будет вновь изложена здесь.

3.2 Общая методология неоднократно применялась при установлении фактов, связанных с применением химикатов в качестве оружия в Сирии, однако каждое утверждение сопряжено с рядом особых обстоятельств. Эти обстоятельства включают доступ к вещественным доказательствам, электронным доказательствам, очевидцам и документам, а также предполагаемые сроки его получения после того, как было сделано утверждение. В сущности, особые обстоятельства, сопряженные с каждым утверждением, снижают или повышают актуальность различных элементов подробной методологии.

¹ Пятый пункт преамбулы документа ЕС-М-48/DEC.1, шестой пункт преамбулы документа ЕС-М-50/DEC.1, восьмой пункт преамбулы резолюции 2235 (2015) Совета Безопасности Организации Объединенных Наций.

3.3 В частности, доказательная значимость проб, полученных в короткие сроки после того, как было сделано утверждение, а также дополнительных доказательств в виде фотоснимков и видеозаписей в сочетании с показаниями очевидцев была сопоставлена с доказательной значимостью поездки МУФ на место на более позднем этапе для отбора своих собственных проб.

3.4 Соответственно, МУФ рассмотрела и сравнила методологию, изложенную в документах S/1318/2015 (включая Rev.1 и Rev.1/Add.1), S/1319/2015, S/1320/2015, S/1444/2016, S/1491/2017 и S/1510/2017, с тем чтобы учесть основные принципы проведения расследования, которые применялись в отношении утверждений в прошлом.

3.5 МУФ пришла к своим выводам путем рассмотрения сочетания, соответствия и достоверности собранных доказательств в совокупности, а не избирательно.

3.6 С перечнем справочной документации можно ознакомиться в приложении 1.

4. Подробная информация о развертывании и последовательность событий

Этап до развертывания

4.1 Узнав об инциденте в Лтамене из сообщений средств массовой информации от 25 марта 2017 года, МУФ продолжала изучать сведения из открытых источников и приступила к сбору и рассмотрению всей соответствующей информации относительно данного утверждения (приложение 2). Большинство источников составляли новостные средства массовой информации, блоги и веб-сайты различных неправительственных организаций (НПО).

4.2 В ходе этой работы МУФ стало известно еще об одном предполагаемом инциденте, который произошел в районе Лтамены 30 марта 2017 года согласно утверждению, которое первоначально было сделано представителями НПО, а также сообщениям средств массовой информации. Впоследствии МУФ расширила сферу поиска кандидатов для опроса и возможных доказательств с учетом данного утверждения.

4.3 Информационная группа (Секретариата) и МУФ продолжали проводить активный мониторинг сообщений средств массовой информации. Это позволило МУФ определить возможное место предполагаемого инцидента, а также приступить к поиску кандидатов для опроса и возможных доказательств.

4.4 На этом этапе, который предшествовал развертыванию, МУФ была мобилизована 5 апреля 2017 года (как подробно изложено в документах S/1497/2017 и S/1510/2017) в связи с применением химического оружия в Хан-Шейхуне 4 апреля 2017 года. Внимание группы было сосредоточено на этом инциденте, однако была получена также дополнительная информация, касающаяся других утверждений, в том числе утверждений относительно Лтамены от 25 и 30 марта 2017 года.

4.5 МУФ отметила, что в ходе расследования полный, прямой и непосредственный доступ на место предполагаемого инцидента обеспечивает самые благоприятные условия для сбора убедительных доказательств. Как и в случае всех утверждений и инцидентов, изложенных в документах S/1318/2015 (включая Rev.1 и Rev.1/Add.1), S/1319/2015, S/1320/2015, S/1444/2016, S/1491/2017 и S/1510/2017, различные ограничения, в частности соображения безопасности, не позволили МУФ получить непосредственный доступ на места инцидентов.

4.6 С учетом важности непосредственного доступа на место инцидента и отсутствия такого доступа МУФ определила основные методы сбора информации и оценки ее достоверности и включила в их число следующие: расследование инцидентов и изучение имеющихся сведений; оценку и подтверждение справочной информации; проведение опросов соответствующего медицинского персонала, предполагаемых пострадавших и других лиц, связанных с соответствующим инцидентом; рассмотрение документации и учетных записей, предоставленных опрошенными; оценку симптомов, которые наблюдались у пострадавших согласно сообщениям опрошенных; а также сбор биомедицинских образцов и отбор экологических проб, в том числе проб из металлических частей, для последующего анализа.

4.7 На основе информации, полученной от представителей нескольких НПО, в том числе организаций “Same Justice”/«Сирийский центр документации о химических нарушениях» (CVDCS), «Сирийская гражданская оборона» (также известная как «Белые каски» (СГО)), «Сирийско-американское медицинское общество» (SAMS) и «Сирийский институт правосудия» (СИП), МУФ отобрала несколько очевидцев для опроса. Предполагалось, что эти очевидцы дадут свидетельские показания и предоставят дополнительные значимые материалы.

4.8 Кроме того, доказательная значимость проб, полученных в короткие сроки после того, как было сделано утверждение, а также дополнительных доказательств в виде фотоснимков и видеозаписей в сочетании с показаниями очевидцев, была сопоставлена с доказательной значимостью поездки МУФ на место на более позднем этапе для отбора своих собственных проб при условии возможности совершения такой поездки.

Деятельность по развертыванию

4.9 МУФ провела первый опрос в связи с предполагаемыми инцидентами, произошедшими в районе Лтамены, 10 апреля 2017 года. Во время опросов, в том числе тех, которые были связаны с инцидентом в Хан-Шейхуне, опрошенные сообщили еще о нескольких предполагаемых инцидентах. Эти инциденты произошли 24 марта (в Лтамене, Хаттабе и Кумхане) и 3 апреля (в Хобейте и Эт-Тамане) 2017 года. Во время проведения опросов другие опрошенные сообщили также имена еще нескольких очевидцев.

4.10 Пробы грунта, относящиеся к утверждению от 30 марта 2017 года, были получены группой МУФ 12 апреля 2017 года. На основе показаний очевидцев и доказательств, предоставленных во время проведения опросов, МУФ определила потенциально значимые части боеприпаса и организовала их сбор. В результате 17 июля и 17 августа 2017 года группа МУФ получила дополнительные экологические пробы, в том числе пробы из остатков предполагаемого боеприпаса. Анализ этих проб был отложен по причине первоочередности проведения анализа проб, относящихся к инциденту в Хан-Шейхуне.

4.11 С подробной информацией относительно проб можно ознакомиться в разделе 5 настоящего доклада и приложении 4 к нему. Во время передачи проб НПО проинформировала группу о том, что пробы, полученные 12 апреля, 17 июля и 17 августа 2017 года, были отобраны данной НПО. Представители этой НПО были также опрошены и предоставили фотоснимки и видеозаписи с места предполагаемого инцидента, в том числе фотоснимки и видеозаписи отбора проб.

4.12 МУФ присутствовала при отборе проб волос и крови двух опрошенных 29 июля 2017 года. МУФ незамедлительно взяла под контроль эти пробы, относящиеся к утверждению от 30 марта 2017 года.

4.13 С момента получения проб группой работа со всеми пробами проводилась в соответствии с применимыми процедурами ОЗХО, включая опломбирование группой МУФ. К настоящему времени пробы от 30 марта 2017 года были проанализированы в двух назначенных лабораториях (НЛ). С результатами анализа можно ознакомиться в разделе 5 ниже.

5. Краткая информация об инциденте и анализ

5.1 Настоящий доклад охватывает исключительно утверждение относительно Лтамены от 30 марта 2017 года. Другие утверждения, указанные в предыдущем разделе, могут быть охвачены на более позднем этапе.

5.2 Описательная часть подготовлена исключительно на основе информации, полученной в результате опросов и по мере возможности подтвержденной показаниями различных опрошенных.

5.3 В настоящем докладе все учреждения по оказанию медицинской помощи именуются медицинскими учреждениями. В их число входят широко известные крупные больницы, небольшие специализированные больницы, полевые госпитали и центры базового медицинского обслуживания, которое незначительно выходит за рамки первой помощи.

5.4 В связи с обеспокоенностью, выраженной некоторыми очевидцами, в настоящем докладе не указаны названия каких-либо медицинских учреждений, за исключением тех, которые конкретно упомянуты в этом документе. Для облегчения подготовки доклада им были присвоены индивидуальные условные обозначения.

5.5 На следующих диаграммах представлено относительное местоположение всех городов/деревень, упомянутых в настоящем докладе.

Диаграмма 1

Лтамена и ее местоположение в северной части Сирии

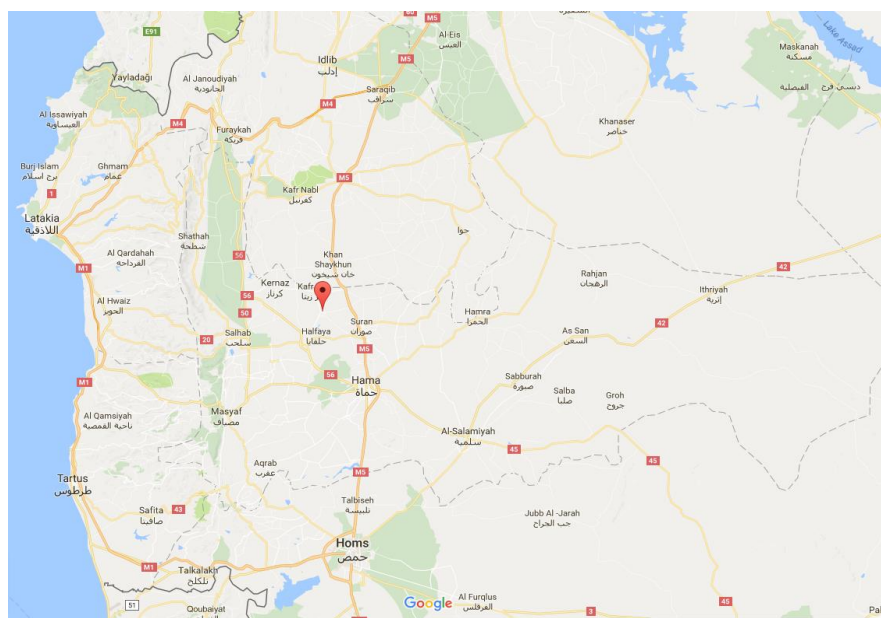
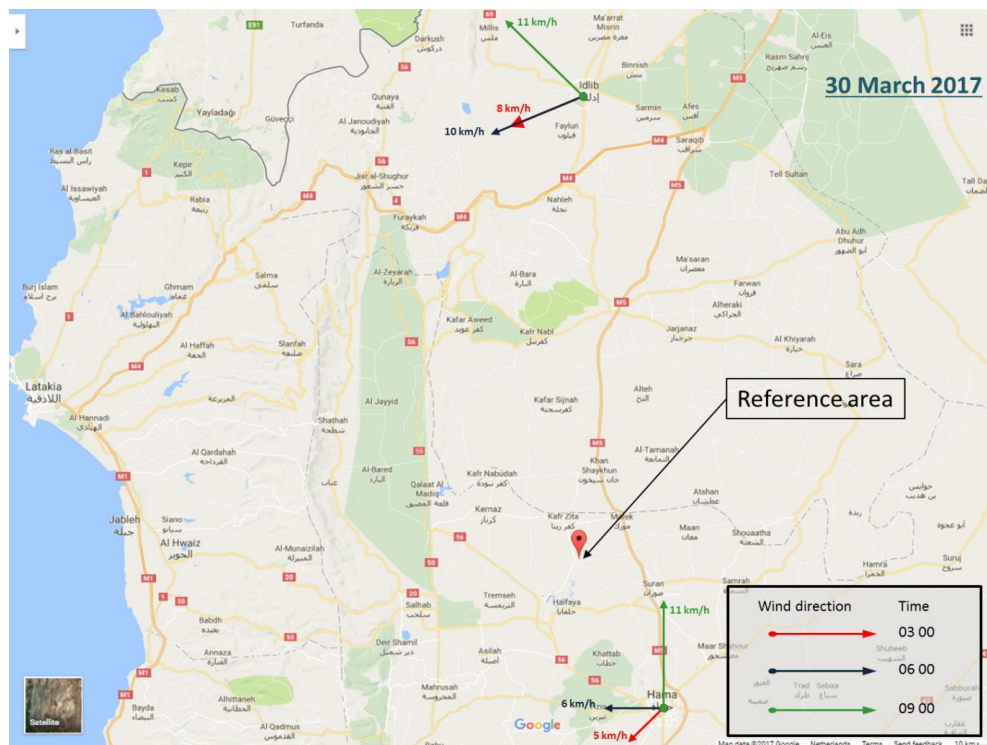


Диаграмма 3
 Информация о погодных условиях из открытых источников, 30 марта 2017 года



5.10 Как показано на диаграмме 4 ниже, топография Лтамены и прилегающих районов была воспроизведена с помощью программных средств с веб-сайта <http://en-ca.topographic-map.com> в сочетании с программой «Карты Гугл».

Диаграмма 4
 Топография Лтамены и прилегающих районов



30 марта 2017 года

5.11 В период с 28 июля по 15 октября 2017 года включительно МУФ провела очные опросы десяти человек, в том числе врачей и пациентов. Все опрошенные являются лицами мужского пола.

Таблица 1

Подробная информация об опрошенных

	Опрошенные	Мужчины	Женщины	Пострадавшие первой категории	Пострадавшие второй категории
Лечащие врачи	1	1	0	0	1
Вспомогательный медицинский персонал	3	3	0	0	0
Очевидцы	3	3	0	2	0
Пробоотборщик	3	3	0	0	0
Всего	10	10	0	2	1

30 марта 2017 года — Описательная часть

5.12 Согласно сообщениям очевидцев около 06 час. 00 мин. 30 марта 2017 года приблизительно в 500 метрах от южной окраины города Лтамена раздался звук летящего реактивного самолета, за которым слышались звуки падения четырех авиационных боеприпасов.

5.13 По рассказам очевидцев, во время появления самолета и последующих взрывов они находились в близлежащих пещерах. Никто из опрошенных очевидцев не видел, как боеприпасы были сброшены с самолетов в этом районе.

5.14 Третий взрыв отличался от остальных приглушенным звуком и отсутствием запаха и дыма, которые отмечались во время других нападений. Во время инцидента рядом с данным местом находились линии соприкосновения сторон конфликта.

5.15 Согласно сообщениям очевидцев, выйдя из пещер, они услышали крики «Ложись!». У пострадавших наблюдались тремор, дрожь, пенообразные выделения и резкое снижение способности реагировать на окружающую обстановку. Очевидцы совместно с другими людьми предприняли попытки спасти и эвакуировать пострадавших. Очевидцы рассказали, что спасатели также начали падать на землю, теряя сознание. По словам очевидцев, с момента поражения до потери сознания прошло около 5 минут в одном случае и около 30 минут в другом случае.

5.16 Очевидцы, которые потеряли сознание, очнулись в больнице и провели там около трех дней. Они сообщили, что испытывали такие симптомы, как «жжение по всему телу», «утрата способности двигаться», нарушение зрения, бессонница, головокружение и встревоженное состояние; некоторые из этих симптомов сохранялись в течение 20 дней после предполагаемого инцидента.

5.17 Предоставленная очевидцами информация о погодных условиях была ограничена сведениями о том, что температура воздуха соответствовала норме для того времени года и что скорость ветра была низкой.

30 марта 2017 года — Эпидемиологический анализ

5.18 Группа опросила одного врача из медицинского учреждения А (МУ-А), которое является близлежащей больницей, расположенной в Сирии. Его показания кратко изложены в следующих пунктах.

5.19 Около 06 час. 00 мин. врач, спавший в комнате отдыха МУ-А, был разбужен спасателями, доставившими в учреждение большое количество пострадавших.

5.20 По причине уменьшения количества свободных мест для пациентов после инцидента, который произошел 25 марта 2017 года, большинство пострадавших были немедленно направлены в другие больницы без проведения какого-либо предварительного лечения или тщательного обследования.

5.21 При беглом осмотре у пострадавших (как госпитализированных, так и направленных в другие больницы) наблюдались признаки отравления, соответствующие ингибированию ацетилхолинэстеразы. У пострадавших не было отмечено никаких травм от взрыва или проникающих ран.

5.22 Во время контакта с пациентами врач снял некоторые предметы индивидуального защитного снаряжения (в том числе перчатки) и испытал стойкое онемение верхних и нижних конечностей, которое потребовало лечения антиконвульсантами (габапентином).

5.23 Пострадавшие были направлены в другие больницы, расположенные дальше от места инцидента: около 65 пострадавших были направлены в МУ-С, около 40 пострадавших — в МУ-Д и 40-50 пострадавших — в МУ-Е. Шестнадцать пострадавших (все мужского пола) в течение одного часа находились в МУ-А, где им была оказана помощь до направления в другие медицинские учреждения. Информация о признаках и симптомах, наблюдавшихся у этих 16 пострадавших, включая данные о степени тяжести симптомов при поступлении в медицинское учреждение, а также проведенном после этого лечении, представлена на следующих диаграммах.

Диаграмма 5

Степень тяжести симптомов, которые наблюдались у пострадавших при поступлении в МУ-А

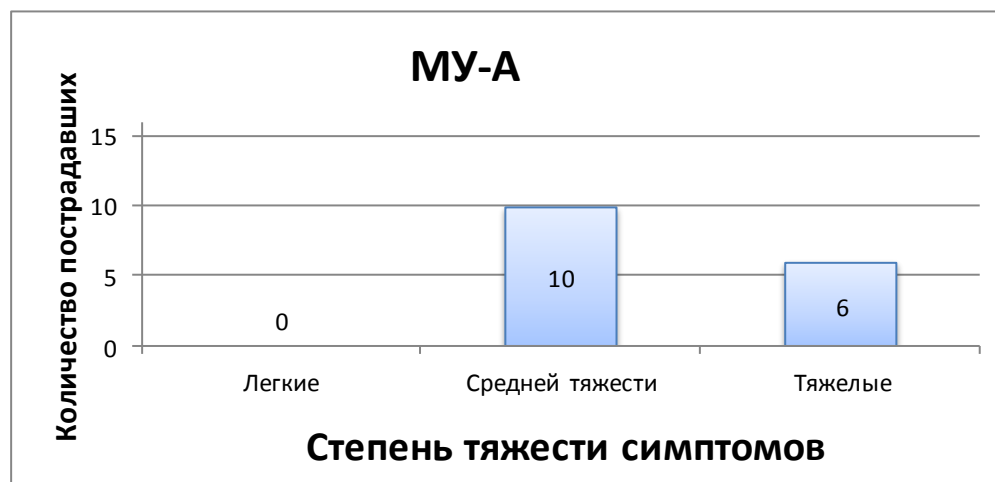


Диаграмма 6
Признаки и симптомы, наблюдавшиеся у пострадавших при поступлении в МУ-А

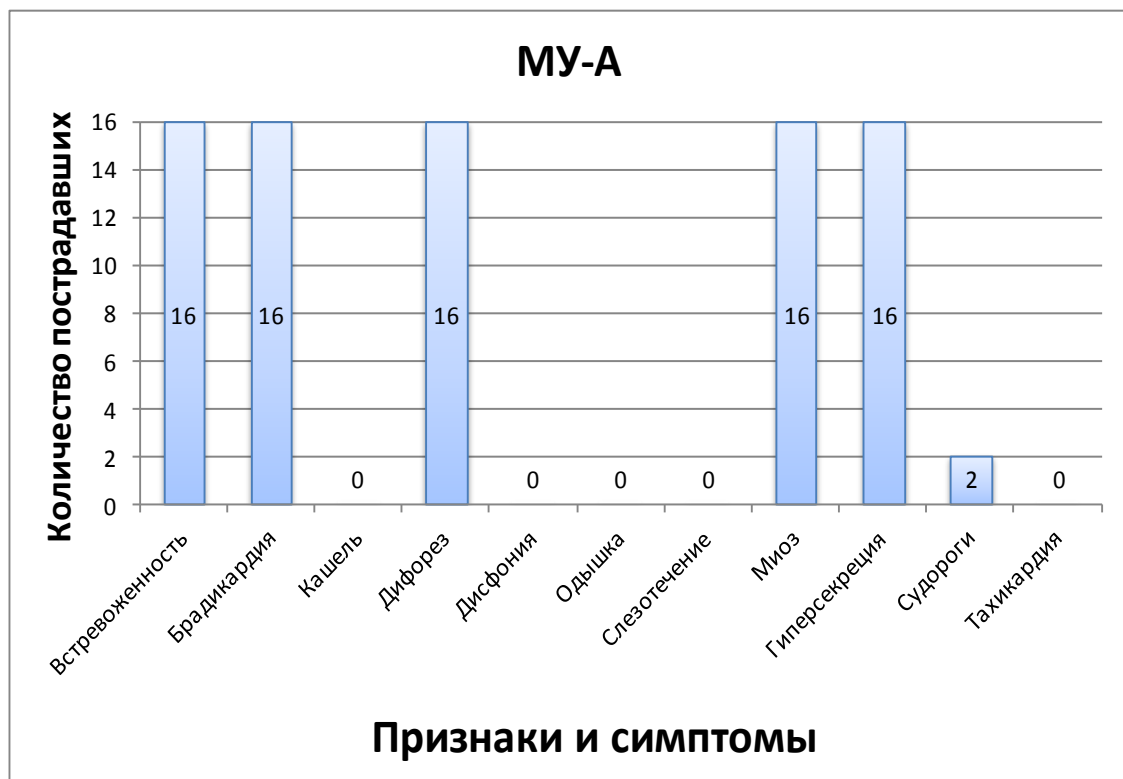
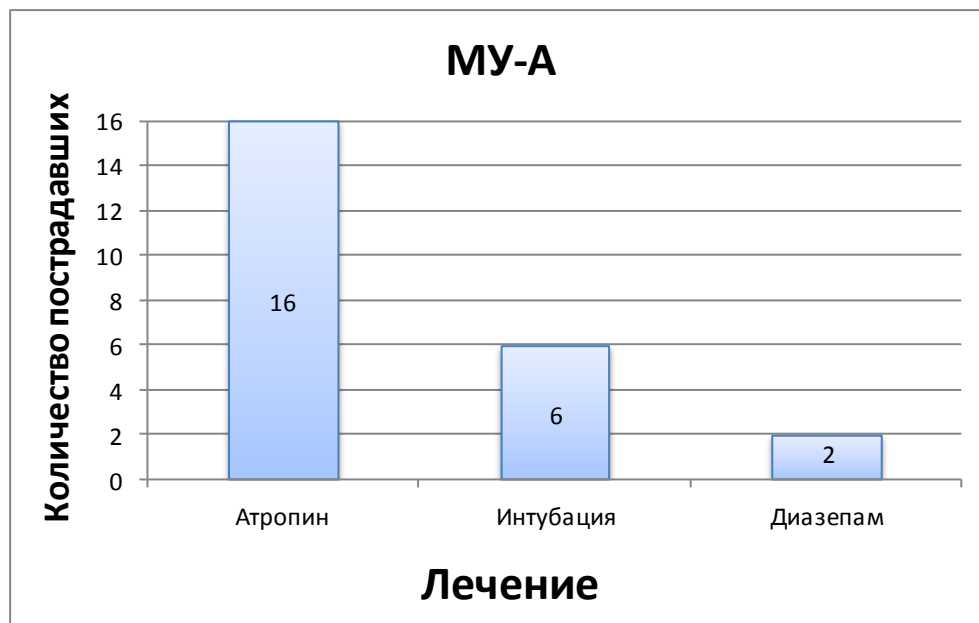


Диаграмма 7
Медицинская помощь, оказанная пострадавшим



5.24 Кроме того, МУФ удалось получить медицинскую документацию из МУ-В в отношении семи пострадавших, которые были доставлены в данное учреждение. Первоначальные диагнозы представлены на диаграмме ниже.

Диаграмма 8
Первоначальный диагноз при поступлении

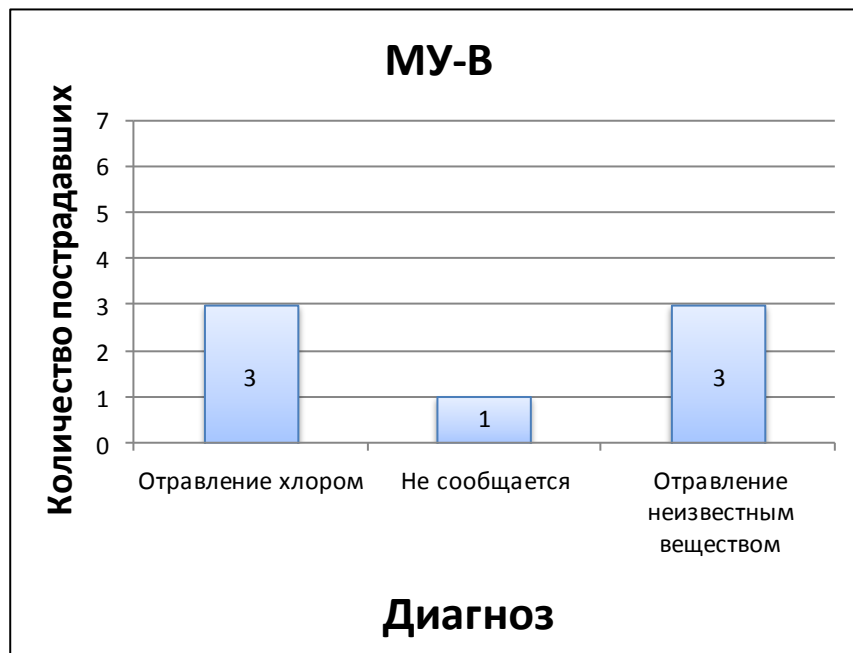
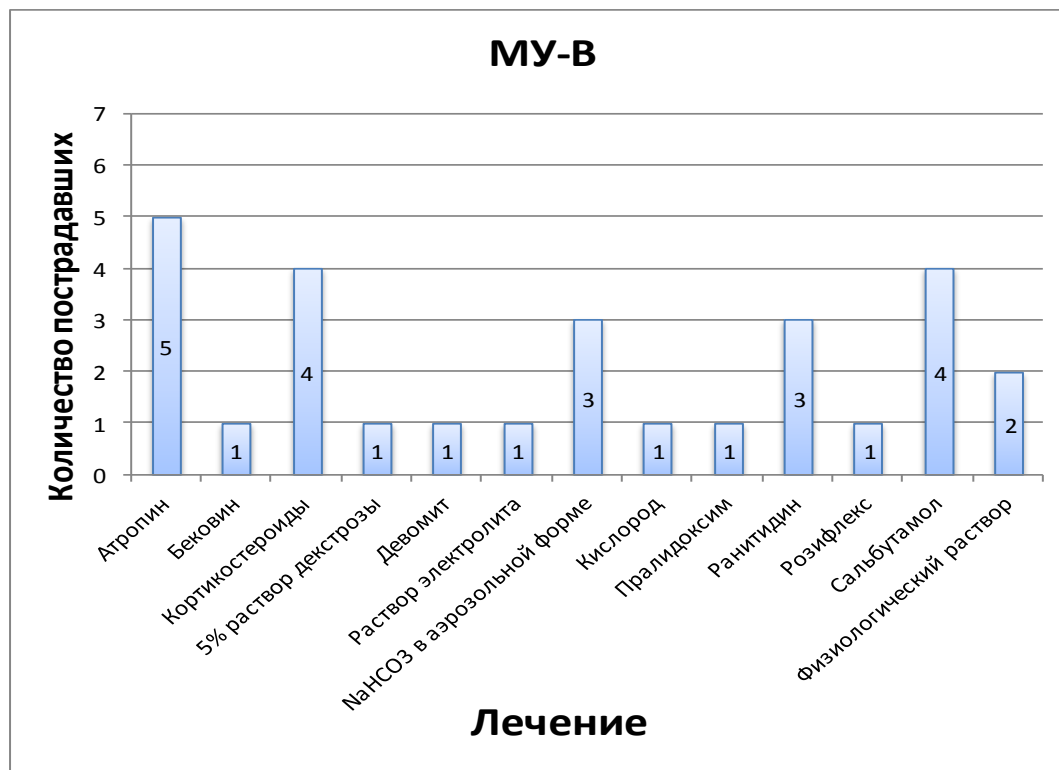


Диаграмма 9
Медицинская помощь, оказанная пострадавшим



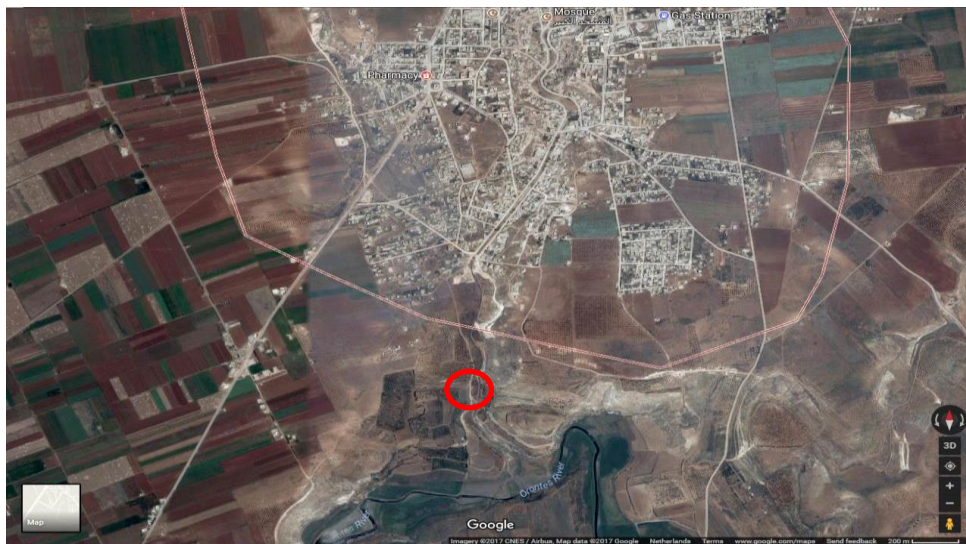
5.25 МУФ приняла к сведению диагноз "отравление хлором" и во время нескольких опросов была проинформирована о том, что предположение о связи химического отравления с хлором было сделано на основании поступления в больницу значительного количества пациентов с явными признаками химического отравления. Несмотря на то, что в результате последующей оценки отравление хлором, в частности, может быть исключено посредством более подробного прогноза, первоначальный прогноз по-прежнему сохраняется в документации.

30 марта 2017 года — Место предполагаемого инцидента и информация о пострадавших

5.26 Местом предполагаемого инцидента является военный район, расположенный рядом с сельскохозяйственным земельным участком. Там находились главным образом солдаты вооруженной группы оппозиции (ВГО). Кроме того, в это время в районе находилось небольшое количество сельскохозяйственных работников.

Диаграмма 10

Место предполагаемого инцидента и место обнаружения первых пострадавших



5.27 По заявлениям очевидцев, все первые пострадавшие были обнаружены в пещерах в непосредственной близости от места предполагаемого инцидента. Кроме того, опрошенный медицинский персонал сообщил о вторичном поражении.

5.28 Воронка на месте третьего взрыва, по показаниям очевидцев, была 1-1,5 м в диаметре и приблизительно 25 см в глубину. Растительность на расстоянии около 20-30 метров была обожжена и пожухла, и, как было отмечено, повреждение растительности отличалось от повреждения, характерного для поражения хлором.

30 марта 2017 года — Экологические пробы

5.29 Пробы грунта и металлические части были получены группой МУФ 12 апреля, 17 июля и 17 августа 2017 года.

5.30 Во время передачи группа была проинформирована, что все пробы были отобраны подразделением по отбору химических проб СГО. Член подразделения по отбору химических проб, который отбирал пробы, присутствовал при передаче и предоставил информацию по каждой пробе. Эта информация была дополнена показаниями того же человека и фотоснимками, переданными в ходе опроса. Информация была подтверждена посредством опроса еще двух членов подразделения по отбору химических проб СГО.

5.31 На диаграмме ниже показаны места отбора проб.

Диаграмма 11
Места отбора проб



5.32 Фотоснимки и описание каждой металлической части приводятся в приложении 4.

5.33 Перед отправкой в НЛ пробы были разделены в Лаборатории ОЗХО. В таблице ниже приводятся результаты анализа каждой пробы. Следует отметить, что для отбора проб с металлических частей применялись три разных растворителя: ацетонитрил (ACN), дихлорметан (DCM) и вода (H₂O).

Таблица 2
Пробы и результаты аналитических исследований из назначенных лабораторий

№	Код пробы	Описание	Дата получения	Изображение	Результаты анализа	
					НЛ №1	НЛ №2
1	02SLS	Грунт из-под металлического предмета	17/7/17		н/о	н/о
2	03SLS	Грунт из-под металлического предмета	17/7/17		Зарин, DIMP, ИМФК, МРА, НФР, DIPP, гексамин	DIMP, ИМФК, НФР, DIPP, гек- самин
3	04SLS	Грунт из-под металлического предмета	17/7/17		DIMP, ИМФК, МРА, НФР, DIPP, гексамин	DIMP, ИМФК, МРА, НФР, DIPP, TRP
4	05SLS	Грунт из-под металлического предмета	17/7/17		DIMP, ИМФК, МРА, НФР, DIPP	DIMP, ИМФК, МРА, DIPP, TRP

№	Код пробы	Описание	Дата получения	Изображение	Результаты анализа	
					НЛ №1	НЛ №2
5	06SLS	Грунт из-под металлического предмета	17/7/17		Зарин, ДИМР, ИМФК, МРА, НФР, ДИПФ, ДИПР, гексамин	ДИМР, ИМФК, НФР, ДИПР, гексамин, iPPF, DBP, ТРР
6	01SDSDCM	Большой металлический предмет	17/7/17		ДИМР, ИМФК, МРА, НФР, ДИПР, ТРР, (ДИПФ), гексамин	ДИМР, ИМФК, МРА, НФР, ДИПФ, ТВР, ТРР, гексамин
7	01SDSACN				Зарин, ДИМР, НФР, ДИПР, ТРР, гексамин	ДИМР, ИМФК, МРА, НФР, ДИПФ, ТВР, гексамин
8	01SDSH2O				ДИМР, ИМФК, МРА, НФР, ДИПР, гексамин	ДИМР, ИМФК, МРА, НФР, ДИПФ, ТВР, гексамин
9	01SDSDCM(B)	Металлический предмет	18/7/17		Зарин, ДИМР, ИМФК, МРА, НФР, ТРР, ДИПФ, гексамин, капролактатам	Зарин, ДИМР, ИМФК, МРА, МРФА, НФР, ТВР, ТРР, ДИПФ, ДИПР, iPPF
10	01SDSACN(B)				Зарин, ДИМР, НФР, ДИПФ, гексамин, капролактатам	Зарин, ДИМР, ИМФК, МРА, МРФА, НФР, ТВР, ТРР, ДИПФ, ДИПР, iPPF
11	01SDSH2O(B)				ДИМР, ИМФК, МРА, НФР, гексамин, капролактатам	Зарин, ДИМР, ИМФК, МРА, МРФА, НФР, ТВР, ТРР, ДИПФ, ДИПР, iPPF

№	Код пробы	Описание	Дата получения	Изображение	Результаты анализа	
					НЛ №1	НЛ №2
12	02SDSDCM(B)	Металлический предмет	18/7/17		ИМФК, НФР	ИМФК, НФР, ТВР
13	02SDSACN(B)				НФР	ИМФК, НФР, ТВР
14	02SDSH2O(B)				ИМФК, МРА, НФР	ИМФК, НФР, ТВР
15	03SDSDCM(B)	Металлический предмет	18/7/17		Зарин, ДИМР, ИМФК, МРА, НФР, ДИПФ	Зарин, ДИМР, ИМФК, МРА, НФР, ДИПФ, ТВР
16	03SDSACN(B)				Зарин, ДИМР, НФР, ДИПФ, гексамин	Зарин, ДИМР, ИМФК, МРА, НФР, ДИПФ, ТВР
17	03SDSH2O(B)				ДИМР, ИМФК, МРА, НФР, гексамин	Зарин, ДИМР, ИМФК, МРА, НФР, ДИПФ, ТВР
18	04SDSDCM(B)	Металлический предмет	18/7/17		Зарин, ДИМР, ИМФК, МРА, МРФА, НФР, ТРР, ДИПФ	Зарин, ДИМР, ИМФК, МРА, МРФА, НФР, ДИПФ, ДИРР, ТРР, iPPF, 5-этил-1,3-диоксан-5-метанол

№	Код пробы	Описание	Дата получения	Изображение	Результаты анализа	
					НЛ №1	НЛ №2
19	04SDSACN(B)				Зарин, DIMP, ИМФК, МРА, НФР, ТРР, DIPF, гексамин	Зарин, DIMP, ИМФК, МРА, МРФА, НФР, DIPF, DIPR, ТРР, iPPF, 5-этил-1,3-диоксан-5-метанол
20	04SDSH2O(B)				DIMP, ИМФК, МРА, НФР, DIPR, гексамин	Зарин, DIMP, ИМФК, МРА, МРФА, НФР, DIPF, DIPR, ТРР, iPPF, 5-этил-1,3-диоксан-5-метанол
21	07SDSDCM	Металлический предмет	17/7/17		Зарин, DIMP, ИМФК, МРА, НФР, ТРР, DIPF	Зарин, DIMP, ИМФК, МРА, НФР, DIPF
22	07SDSACN				Зарин, DIMP, НФР, DIPF, гексамин	Зарин, DIMP, ИМФК, МРА, НФР, DIPF
23	07SDSH2O				DIMP, ИМФК, МРА, НФР, DIPR, гексамин	Зарин, DIMP, ИМФК, МРА, НФР, DIPF
24	08SDSDCM	Металлический предмет	17/7/17		Зарин, DIMP, ИМФК, МРА, Руго, НФР, DIPR, ТРР, DIPF, гексамин	Зарин, DIMP, ИМФК, МРА, Руго, НФР, DIPR, МРФА, iPPF, DBP, гексамин
25	08SDSACN				Зарин, DIMP, ИМФК, МРА, НФР, DIPR, ТРР, гексамин	Зарин, DIMP, ИМФК, МРА, Руго, НФР, DIPR, МРФА, iPPF, DBP, гексамин

№	Код пробы	Описание	Дата получения	Изображение	Результаты анализа	
					НЛ №1	НЛ №2
26	08SDSH2O				ДИМР, ИМФК, МРА, НФР, ДИРР, гексамин	Зарин, ДИМР, ИМФК, МРА, Руро, НФР, ДИРР, МРФА, iPPF, ДВР, гексамин
27	08SDSRUB				ДИМР, ИМФК, МРА, НФР, ДИРР, ДИРР, гексамин	Зарин, ДИМР, ИМФК, МРА, МРФА, Руро, гексамин
28	09SDSDCM	Металлический предмет	17/7/17		ДИМР, ИМФК, НФР, гексамин	ДИМР, ИМФК, МРА, НФР, гексамин
29	09SDSACN				Зарин, ДИМР, ИМФК, НФР, гексамин	ДИМР, ИМФК, МРА, НФР, гексамин
30	09SDSH2O				ИМФК, МРА, НФР, гексамин	ДИМР, ИМФК, МРА, НФР, гексамин
31	10SDSDCM	Четыре металлических предмета	17/7/17		НФР, TNT	ДИМР, ИМФК
32	10SDSACN				НФР, TNT	ДИМР, ИМФК

№	Код пробы	Описание	Дата получения	Изображение	Результаты анализа	
					НЛ №1	НЛ №2
33	10SDSH2O				НФР	ДИМР, ИМФК
34	11SDSDCM	Металлический предмет	17/7/17		ДИМР, ИМФК, МРА, НФР, ДІРФ, гексамин, капролактам	Зарин, ДИМР, ИМФК, МРА, НФР, ДІРФ, іРРФ
35	11SDSACN				Зарин, ДИМР, НФР, ДІРФ, капролактам	Зарин, ДИМР, ИМФК, МРА, НФР, ДІРФ, іРРФ
36	11SDSH2O				ДИМР, ИМФК, МРА, НФР, гексамин, капролактам	Зарин, ДИМР, ИМФК, МРА, НФР, ДІРФ, іРРФ
37	12SDSDCM	Металлический предмет	17/7/17		ДИМР, НФР	ДИМР, ИМФК, МРА, НФР
38	12SDSACN				ДИМР, НФР	ДИМР, ИМФК, МРА, НФР
39	12SDSH2O				ДИМР, ИМФК, МРА, НФР	ДИМР, ИМФК, МРА, НФР

№	Код пробы	Описание	Дата получения	Изображение	Результаты анализа	
					НЛ №1	НЛ №2
40	31SLS	Гравий с расстояния 50 м	12/4/17		ИМФК, ДИМР	Зарин, ИМФК, МРА, ДИМР
41	32SLS	Гравий из воронки	12/4/17		ИМФК, ДИМР	Зарин, ИМФК, МРА, ДИМР
42	33SLS	Гравий	12/4/17		ИМФК, ДИМР	Зарин, ИМФК, МРА, ДИМР
43	34SDS	Пластиковый пакет + грунт + растительность	12/4/17		ИМФК, ДИМР	ИМФК, МРА, ДИМР

№	Код пробы	Описание	Дата получения	Изображение	Результаты анализа	
					НЛ №1	НЛ №2
44	35SLS	Грунт	12/4/17		DIMP	ИМФК, МРА, DIMP

Ключевые обозначения	
ACN	растворитель: ацетонитрил
DBP	дибутилфосфат
DCM	растворитель: дихлорметан
DIMP	диизопропилметилфосфонат (побочный продукт производства зарина)
DIPF	диизопропилфосфорофторидат (побочный продукт прекурсора зарина/производства зарина)
DIPP	диизопропилфосфат
НЛ	назначенная лаборатория
Гексамин	гексаметилентетрамин
HFP	гексафторфосфат
H2O	растворитель: вода
ИМФК	изопропилметилфосфонат (первый продукт распада зарина)
iPPF	изопропилфосфорофторидат
МРА	метилфосфоновая кислота (продукт распада зарина и/или прекурсора ОВ нервно-паралитического действия и/или побочный продукт ОВ нервно-паралитического действия)
MPFA	метилфосфонофторовая кислота
н/о	не обнаружены соответствующие химикаты (согласно определению Лаборатории ОЗХО)
Руго	диизопропилдиметилпирофосфонат (побочный продукт производства зарина)

Зарин	изопронилметилфторфосфонат
TBP	трибутилфосфат
TNT	тринитротолуол
TRP	триизопронилфосфат (побочный продукт прекурсора зарина/производства зарина)

Отчет об анализе биомедицинских образцов

5.34 В таблице 3 представлены результаты анализа образцов крови и волос, отобранных у двух опрошенных в присутствии членов группы МУФ 29 июля 2017 года. Эти пробы имеют отношение к утверждению от 30 марта 2017 года.

5.35 МУФ признала, что биомедицинские пробы, отобранные по прошествии более чем трех месяцев после предполагаемого инцидента, вряд ли могут дать положительные результаты при проверке на поражение фосфорорганическими химикатами, даже если и имело место поражение. Однако, учитывая вариативность результатов в зависимости от таких факторов, как степень поражения, индивидуальный метаболизм и метод анализа проб, включая чувствительность приборов, МУФ приняла решение о том, что вероятность положительного результата дает основания для отбора и анализа проб, несмотря на то, что положительные результаты маловероятны.

5.36 Биомедицинские образцы были проанализированы в двух НЛ. Результаты анализов, полученные в каждой из лабораторий, соответствуют друг другу.

Таблица 3

Результаты анализа биомедицинских образцов, отобранных в присутствии группы МУФ

№	Кровь		Волосы	
	Номер пробы	Результаты анализа	Номер пробы	Результаты анализа
1.	1399P	Биомаркеров ОВ нервно-паралитического действия на фосфорорганической основе не обнаружено	1399H	Биомаркеров ОВ нервно-паралитического действия на фосфорорганической основе не обнаружено
2.	1501P		1501H	

5.37 В образцах крови (плазмы) не было обнаружено биомаркеров, свидетельствующих о поражении ОВ нервно-паралитического действия на фосфорорганической основе. Аналогично, в образцах волос не было обнаружено биомаркеров, свидетельствующих о поражении ОВ нервно-паралитического действия на фосфорорганической основе.

6. Выводы

6.1 Как и во время других миссий, группа МУФ была не в состоянии посетить заблокированный объект незамедлительно после предполагаемого инцидента. Возможность доступа осложнялась тем, что со времени, предшествовавшего предполагаемому инциденту, до завершения подготовки настоящего доклада на большей части территории данного района проводились военные действия, связанные с продолжающимся конфликтом. Следовательно, группа опиралась на показания опрошенных лиц, пробы, предоставленные опрошенными лицами, и ограниченную медицинскую документацию.

6.2 Частично благодаря своему давнему сотрудничеству с НПО и благодаря тому, что была начата работа в связи с предполагаемым инцидентом, который произошел 25 марта 2017 года в другом районе Лтамены, МУФ удалось собрать факты, относящиеся к утверждению от 30 марта 2017 года об инциденте в Лтамене.

6.3 У МУФ был ограниченный доступ к соответствующей медицинской документации, и ей не удалось посетить больницы, которые могли принимать пациентов. Кроме того, отобрать биомедицинские образцы у предположительно пострадавших от поражения лиц стало возможным только после того, как положительные индикаторы, скорее всего, были уничтожены в результате метаболизма. В этой связи важно признать, что невозможность обнаружить биомаркеры, относящиеся к поражению ОВ нервно-паралитического действия на фосфорорганической основе, может означать отсутствие поражения. Аналогичным образом, имеются научные обоснования тому, почему такие биомаркеры могут быть не обнаружены: главным образом из-за значительного промежутка времени между потенциальным поражением и отбором проб, количества проб и предела обнаружения, характерного для методов анализа.

6.4 Опрошенные последовательно изложили информацию об инциденте, зафиксированных медицинских признаках и симптомах, а также методах отбора проб. МУФ удалось найти очевидцев и сопоставить результаты медицинского обследования. На основе этих факторов МУФ определила, что, по крайней мере, у 16 человек наблюдались симптомы, характерные для поражения ингибитором ацетилхолинэстеразы.

6.5 Посредством опросов и доказательств в виде видеозаписей, представленных в ходе опросов, МУФ удалось определить, что экологические пробы, включая фрагменты боеприпасов, были отобраны в месте предполагаемого инцидента. Несмотря на то, что первые экологические пробы были отобраны на следующий день после предполагаемого инцидента, фрагменты боеприпасов, а также дополнительные пробы грунта были отобраны 5 июля и 30 июля 2017 года. Хотя фрагменты боеприпасов были собраны по истечении некоторого времени после предполагаемого инцидента, МУФ удостоверилась в том, что фрагменты боеприпасов, собранные позднее, являются фрагментами, находившимися на месте во время первоначального отбора экологических проб.

6.6 Результаты анализа подтверждают наличие в пробах, в том числе в пробах с фрагментов боеприпасов, не только зарина, но и других химикатов, в том числе потенциальных примесей и продуктов распада, связанных с заринном, характерных для производственного процесса, используемого сырья и прекурсоров.

6.7 Несмотря на то, что фрагменты боеприпасов не могут быть однозначно соотнесены с утверждением от 30 марта 2017 года, их наличие на месте инцидента, обнаружение в них зарина и химикатов, связанных с заринном, а также характеристики химических боеприпасов в совокупности свидетельствуют о вероятности применения химического оружия.

6.8 МУФ отметила низкую скорость ветра в день предполагаемого инцидента, что способствовало бы концентрации зарина, который плотнее воздуха, в низинах, таких как подземные пещеры. Однако в этом контексте не ясно, где произошло поражение: внутри или за пределами близлежащих пещер.

6.9 Учитывая ограниченное количество очевидцев и ограниченный доступ к подкрепляющей медицинской документации, МУФ не удалось с абсолютной уверенностью установить применение химического оружия. Тем не менее анализ МУФ подтверждает наличие зарина в пробах с места предполагаемого инцидента; пострадавшие с этого места в один и тот же период времени испытывали симптомы, свидетельствующие о поражении заринном, и прошли соответствующее лечение, а фрагменты боеприпасов соответствуют утверждению о применении химического оружия. Следовательно, МУФ может вынести заключение, что зарин, скорее всего, был применен в качестве химического оружия 30 марта 2017 года на юге Лтамены.

Приложения (только на английском языке)

Приложение 1: Reference Documentation (Справочная документация)

Приложение 2: Open Sources (Открытые источники)

Приложение 3: Evidence Obtained by the FFM (Доказательства, полученные МУФ)

Приложение 4: Photographs and Descriptions of Metal Parts (фотоснимки и описание металлических фрагментов)

Annex 1

REFERENCE DOCUMENTATION

	Document Reference	Full title of Document
1.	QDOC/INS/SOP/IAU01 (Issue 1, Revision 1)	Standard Operating Procedure for Evidence Collection, Documentation, Chain-of-Custody and Preservation during an Investigation of Alleged Use of Chemical Weapons
2.	QDOC/INS/WI/IAU05 (Issue 1, Revision 2)	Work Instruction for Conducting Interviews during an Investigation of Alleged Use
3.	QDOC/INS/SOP/IAU02 (Issue 1, Revision 0)	Standard Operating Procedure Investigation of Alleged Use (IAU) Operations
4.	QDOC/INS/SOP/GG011 (Issue 1, Revision 0)	Standard Operating Procedure for Managing Inspection Laptops and other Confidentiality Support Materials
5.	QDOC/LAB/SOP/OSA2 (Issue 1, Revision 2)	Standard Operating Procedure for Off-Site Analysis of Authentic Samples
6.	QDOC/LAB/WI/CS01 (Issue 1, Revision 2)	Work Instruction for Handling of Authentic Samples from Inspection Sites and Packing Off-Site Samples at the OPCW Laboratory
7.	QDOC/LAB/WI/OSA3 (Issue 2, Revision 1)	The chain of custody and documentation for OPCW samples on-site
8.	QDOC/LAB/WI/OSA4 (Issue 1, Revision 3)	Work Instruction for Packing of Off-Site Samples
9.	S/1402/2016	Status of the Laboratories Designated for the Analysis of Authentic Biomedical Samples
10.	C-20/DEC.5	Designation of Laboratories for the Analysis of Authentic Biomedical Samples and Guidelines for the Conduct of Biomedical Proficiency Tests

Annex 2

EVIDENCE OBTAINED BY THE FFM

The tables below summarise the list of evidence collected from various sources by the FFM. Table A3.1 lists electronic media storage devices such as USB sticks and micro SD cards, hard copy evidence and samples. Electronic files include audio-visual captions, still images and documents and are specifically listed in Table A3.2. Hardcopy files consist of various documents, including drawings made by witnesses, medical records, and other patients' information. Table A3.1 also shows the list of samples collected from various sources including biological samples, comprising blood and hair from casualties; environmental samples, including gravel and soil, and other samples, including metal pieces and fragments.

TABLE A3.1 PHYSICAL EVIDENCE COLLECTED BY THE TEAM

Entry Number	Evidence description	Evidence reference number	Evidence source
Electronic and hard copy files and documents			
1.	Kingston 16GB SD Card and 32 32GB μ SD Card - Video recordings	20170728139201	Handed over by 1392
2.	Kingston 32GB μ SD Card - Audio recording	20170728139202	Handed over by 1392
3.	Kingston 16GB SD Card - 2 pdf files	20170728139203	Handed over by 1392
4.	Drawing – 1 page	20170728139204	Handed over by 1392
5.	Kingston 16GB SD Card - Video recording	20170810139501	Handed over by 1395
6.	Kingston 4GB μ SD Card - Audio recording	20170810139502	Handed over by 1395
7.	Kingston 16GB SD Card - Video recordings	20170812139601	Handed over by 1396
8.	Kingston 4GB μ SD Card - Audio recording	20170812139602	Handed over by 1396
9.	Kingston 32GB μ SD Card – 54 files	20170812139603	Handed over by 1396
10.	Drawing – 1 page	20170812139603	Handed over by 1396
11.	Kingston 16GB SD Card - Video recording	20170730139701	Handed over by 1397
12.	Kingston 32GB μ SD Card - Audio recording	20170730139702	Handed over by 1397

Entry Number	Evidence description	Evidence reference number	Evidence source
13.	Kingston 16GB SD Card – 8 photos, 7 videos	20170730139703	Handed over by 1397
14.	Kingston 16GB SD Card - Video recording	20170729139901	Handed over by 1399
15.	Kingston 32GB µSD Card - Audio recording	20170729139902	Handed over by 1399
16.	Kingston 16GB SD Card – 1 video	20170729139903	Handed over by 1399
17.	Kingston 16GB SD Card - Video recording	20170729150101	Handed over by 1501
18.	Kingston 32GB µSD Card - Audio recording	20170729150102	Handed over by 1501
19.	Kingston 16GB SD Card - Video recording	20170810151101	Handed over by 1511
20.	Kingston 4GB µSD Card - Audio recording	20170810151102	Handed over by 1511
21.	Kingston 32GB µSD Card - Video recording	20170812151301	Handed over by 1513
22.	Kingston 4GB µSD Card - Audio recording	20170812151302	Handed over by 1513
Samples			
1	Gravel, 50m away	20170412135106	Syria Civil Defence
2	Gravel from crater	20170412135107	Syria Civil Defence
3	Gravel	20170412135108	Syria Civil Defence
4	Plastic bag + soil + vegetation	20170412135109	Syria Civil Defence
5	Soil	20170412135110	Syria Civil Defence
6	Large piece of a metal fragment.	20170717152001	Syria Civil Defence
7	Soil from under metal piece	20170717152002	Syria Civil Defence
8	Soil from under metal piece	20170717152003	Syria Civil Defence

Entry Number	Evidence description	Evidence reference number	Evidence source
9	Soil from under metal piece	20170717152004	Syria Civil Defence
10	Soil from under metal piece	20170717152005	Syria Civil Defence
11	Soil from under metal piece	20170717152006	Syria Civil Defence
12	Piece of metal fragment	20170717152007	Syria Civil Defence
13	Piece of metal fragment	20170717152008	Syria Civil Defence
14	Piece of metal fragment	20170717152009	Syria Civil Defence
15	Four (4) Pieces of metal fragments	20170717152010	Syria Civil Defence
16	Piece of metal fragment (three attached rectangles)	20170717152011	Syria Civil Defence
17	Metallic support type bar fragment	20170717152012	Syria Civil Defence
18	Tail part of munition	20170717152001	Syria Civil Defence
19	Triangular metal object	20170717152002	Syria Civil Defence
20	Cylindrical object with lifting lug attached	20170717152003	Syria Civil Defence
21	Metal object	20170717152004	Syria Civil Defence
22	Blood	20170729139904	Obtained from 1399
23	Blood	20170729150103	Obtained from1501
24	Hair	20170729139905	Obtained from1399
25	Hair	20170729150104	Obtained from1501

TABLE A3.2 ELECTRONIC EVIDENCE COLLECTED BY THE TEAM

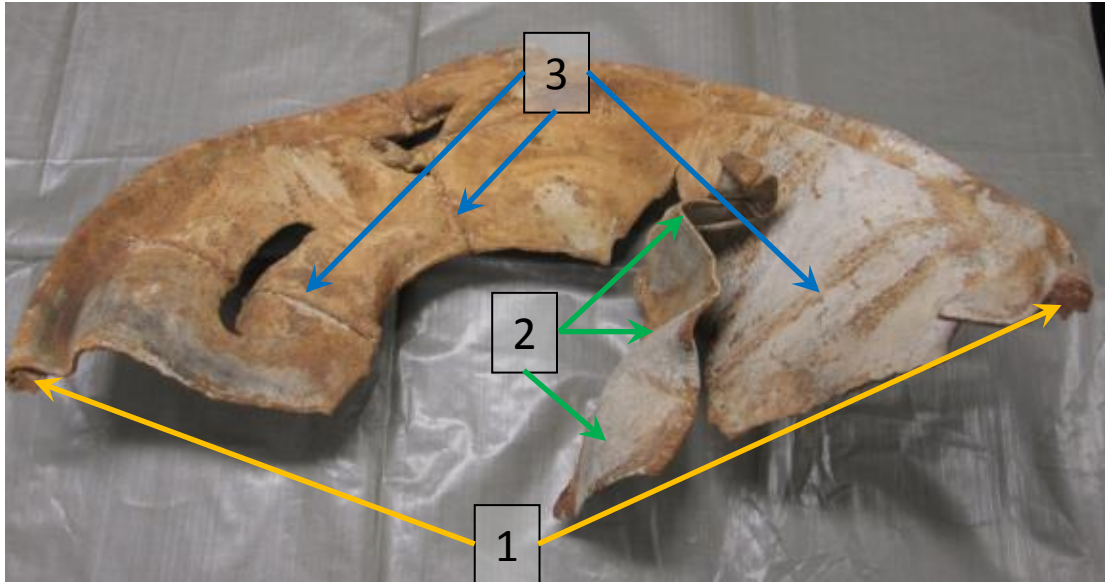
Interview Number	Folder Location	File Names			
1392	D:\1392\1392 Evidences	تقرير صادر عن مديرية صحة حماه حول استهداف مناطق في ريف حماه الشمالي بغازات سامة محرمة دولياً			
1396	D:\1396\1396 Evidence\Removable Disk	link on you			
	D:\1396\1396 Evidence\Removable Disk\كيماوي مشفى اللطامنة صور +فيديوهات	أخبار عربية - إشتباه (5) باستخدام الكيماوي ضد مستشفى اللطامنة في #حماة - YouTube	شهادة احد المصابين الذين كانوا بالمشفى	صور لكادر المشفى والبراميل داخل المشفى التي تحوي غاز (الكلور 14)	صور لكادر المشفى والبراميل داخل المشفى التي تحوي (غاز الكلور 27)
		عشرات الإصابات جراء (5) قصف بالغازات السامة على مدينة اللطامنة بحماة - YouTube	صور لكادر المشفى والبراميل داخل المشفى التي تحوي غاز الكلور (1))	صور لكادر المشفى والبراميل داخل المشفى التي تحوي غاز (الكلور 15)	صور لكادر المشفى والبراميل داخل المشفى التي تحوي (غاز الكلور 28)
		لحظة إلقاء الطيران (5) المروحي براميل غاز الكلور على مشفى اللطامنة وخروجه - YouTube	صور لكادر المشفى والبراميل داخل المشفى التي تحوي غاز الكلور (2))	صور لكادر المشفى والبراميل داخل المشفى التي تحوي غاز (الكلور 16)	صور لكادر المشفى والبراميل داخل المشفى التي تحوي (غاز الكلور 29)
		للمرة الثالثة على التوالي (5) طيران النظام يقصف بغاز الكلور بلدة اللطامنة بريف حماة - YouTube	صور لكادر المشفى والبراميل داخل المشفى التي تحوي غاز الكلور (3))	صور لكادر المشفى والبراميل داخل المشفى التي تحوي غاز (الكلور 17)	صور لكادر المشفى والبراميل داخل المشفى التي تحوي (غاز الكلور 30)
		نافذة تفاعلية .. طائرات (5) النظام تستهدف مدينة اللطامنة - بريف حماة بمواد كيميائية - YouTube(1)	صور لكادر المشفى والبراميل داخل المشفى التي تحوي غاز الكلور (4))	صور لكادر المشفى والبراميل داخل المشفى التي تحوي غاز (الكلور 18)	صور لكادر المشفى والبراميل داخل المشفى التي تحوي (غاز الكلور 31)
		نظام الأسد يقصف المدنيين (5) بريف حماة بغاز كيماوي سام أعراضه شديدة و يعمل على ارتخاء الأعصاب - YouTube	صور لكادر المشفى والبراميل داخل المشفى التي تحوي غاز الكلور (5))	صور لكادر المشفى والبراميل داخل المشفى التي تحوي غاز (الكلور 19)	صور لكادر المشفى والبراميل داخل المشفى التي تحوي (غاز الكلور 32)
		IMG-20170330-WA0112	صور لكادر المشفى والبراميل داخل المشفى التي تحوي غاز الكلور (6))	صور لكادر المشفى والبراميل داخل المشفى التي تحوي غاز (الكلور 20)	صور لكادر المشفى والبراميل داخل المشفى التي تحوي (غاز الكلور 33)
		IMG-20170330-WA0115	صور لكادر المشفى والبراميل داخل المشفى التي تحوي غاز الكلور (7))	صور لكادر المشفى والبراميل داخل المشفى التي تحوي غاز (الكلور 21)	صور لكادر المشفى والبراميل داخل المشفى التي تحوي (غاز الكلور 34)

Interview Number	Folder Location	File Names			
		IMG-20170330-WA0116	صور لكادر المشفى والبراميل داخل المشفى التي تحوي غاز الكلور (8))	صور لكادر المشفى والبراميل داخل المشفى التي تحوي غاز (الكلور) (22)	صور لكادر المشفى والبراميل داخل المشفى التي تحوي (غاز الكلور) (35)
		VID-20170324-WA0053	صور لكادر المشفى والبراميل داخل المشفى التي تحوي غاز الكلور (9))	صور لكادر المشفى والبراميل داخل المشفى التي تحوي غاز (الكلور) (23)	صور لكادر المشفى والبراميل داخل المشفى التي تحوي (غاز الكلور) (36)
		VID-20170324-WA0056	صور لكادر المشفى والبراميل داخل المشفى التي تحوي غاز الكلور (10))	صور لكادر المشفى والبراميل داخل المشفى التي تحوي غاز (الكلور) (24)	كادر المشفى المصاب (1))
		VID-20170330-WA0097	صور لكادر المشفى والبراميل داخل المشفى التي تحوي غاز الكلور (11))	صور لكادر المشفى والبراميل داخل المشفى التي تحوي غاز (الكلور) (25)	كادر المشفى المصاب (2))
		VID-20170330-WA0099	صور لكادر المشفى والبراميل داخل المشفى التي تحوي غاز الكلور (12))	صور لكادر المشفى والبراميل داخل المشفى التي تحوي غاز (الكلور) (26)	كادر المشفى المصاب (3))
		تقرير مشفى اللطامنة قصفه بغاز الكلور	صور لكادر المشفى والبراميل داخل المشفى التي تحوي غاز الكلور (13))		
1397	D:\1397\1397 Evidence	d010c646-9207-4862-b644-306c795e274b	IMG_0607	IMG_0611	IMG_6963
			IMG_0604	IMG_6959	IMG_6971
			IMG_0605	IMG_6960	MVI_0612
			IMG_0606	IMG_6962	
1399	D:\1399\1399 Evidence	WhatsApp Video 2017-07-29 at 15.33.49			

Annex 3

PHOTOGRAPHS AND DESCRIPTIONS OF METAL PARTS

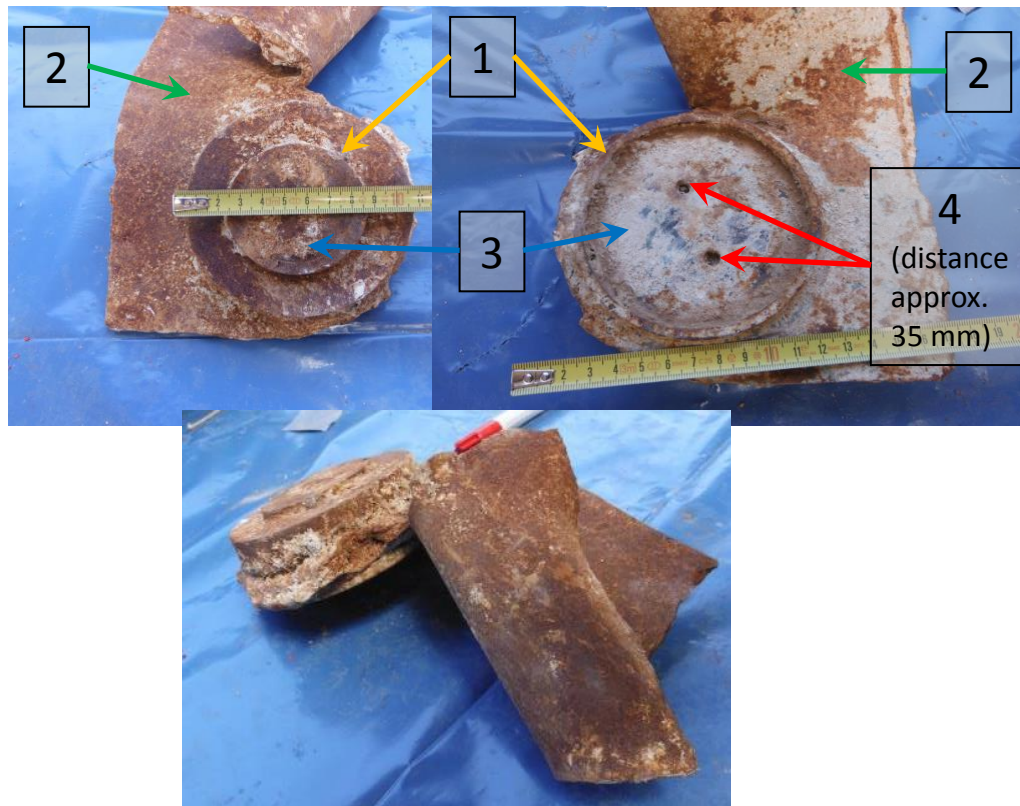
FIGURE A4.1 PHOTOGRAPH OF 01SDS



1. 01SDS (Large metal piece, see figure A4.1 above) is a large semi-circular metal piece. It is heavily deformed and corroded, particularly on what appears to be the inner side. On the item surface, traces of grey and dark green paint are still visible. The item is approximately 900 mm in length and 300 mm in width. The longer edge of the item has been reinforced (labelled 1). The thickness of the metal plate is approximately 5 mm.

2. A triangular metal part is attached to the main body of the item. This part resembles a tail attached side fin (labelled 2). The remains of three other welds (labelled 3) of similar length and approximately equidistant from each other can be seen. This may indicate the original presence of additional three equivalent objects.

FIGURE A4.2 PHOTOGRAPHS OF 07SDS

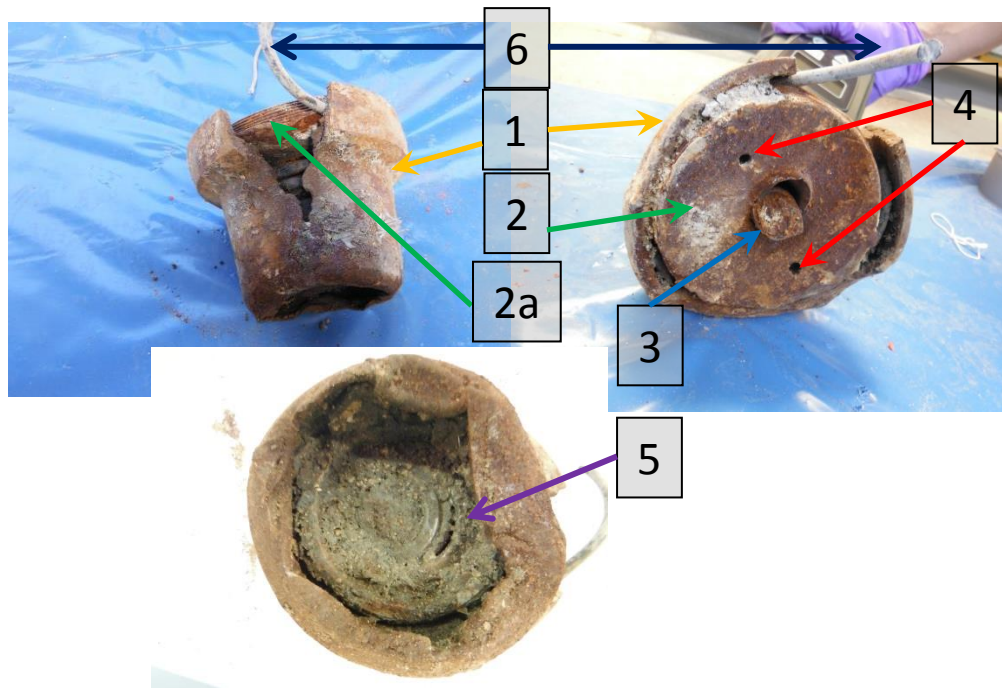


3. 7SDS consists of a circular object (labelled 1) attached to a metal plate (labelled 2). It is heavily corroded and the metal plate is bent and deformed. On what appears to be an outer side, dark green colour is partially visible. The circular object on the topside has a metal lid (labelled 3) with two holes (labelled 4), probably for a mount using a fork key. The distance between the two holes is approximately 35 mm.

4. On the other side, which appears to be the internal side of the system, three circles are visible (the innermost circle is not visible in the photograph). On this internal side (the side without visible colour markings), the respective diameters of the circles are approximately 105 mm, 60 mm and 50 mm.

5. The thickness of the circular object is approximately 35 mm. The metal plate to which it is attached is roughly 5 mm thick and is ruptured on all sides. One side has a very straight cut.

FIGURE A4.3 PHOTOGRAPHS OF 08SDS



6. 08SDS consists of larger cup-shaped outer part (labelled 1) with a diameter of approximately 120 mm and internal part screwed in as a lid (labelled 2) with a diameter of approximately 100 mm. It is metallic and heavily corroded. Aside from being deformed, the outer body is also fractured open, revealing part of the internal system and threads (labelled 2a). The lid part has a larger hole in the middle where a segment of a protruding metal rod (labelled 3) is visible. The metal rod is broken and deformed.

7. There are also two smaller holes (labelled 4) on the lid part, probably used to assemble the system using a fork key (distance between holes is approximately 60 mm). On the one end, the object is partially hollow. Part of the inner mechanism can be seen (labelled 5). What appears to be a rubber seal (labelled 6) is also visible on the splintered side of the item

FIGURE A4.4 PHOTOGRAPHS OF 09SDS

8. 09SDS is a heavily deformed and damaged metal object. On the both sides threads are visible. This part also bears visible markings which point to a universal bomb fuse. The fuse has been activated and does not contain explosive material. This device is normally electrically armed, heat resistant, and can function as point detonating or with delayed action. It is used on a large number of aerial bomb types by numerous nations.

FIGURE A4.5 PHOTOGRAPH OF 10SDS

9. 10SDS comprises four smaller metal pieces. Less rust is visible than on the other items. Fragments are grey with sharp twisted parts and are made of thinner material than most of the other items. The deformations indicate that explosion has torn them off of a larger system. Although the flat lines on the sides, together with the general shape and thickness, indicate that these items could potentially be a part of the tailfin assembly, the exact origin of this part could not be determined.

FIGURE A4.6 PHOTOGRAPH OF 11SDS

10. This item is moderately corroded metal part with visible dark green colour on the surface. It consists of three splintered parts still linked at one point. The thickness of material is approximately 5 mm; the length of individual pieces is approximately 180 to 200 mm, while the estimated total width of the linked part is approximately 320 mm.

FIGURE A4.7 PHOTOGRAPH OF 12SDS

11. 12SDS is similar to a metal rail, approximately 550 mm long, with a square shaped cross section. It is heavily corroded with eight equally distributed holes visible on one side and traces of grey colour. Some of the holes still contain broken bolts inside. The width of the side with holes is approximately 30 mm, thickness is approximately 20 mm and the distance between two holes is approximately 65 mm. On one side there is an attached layer of metal, which is approximately 5 mm thick.

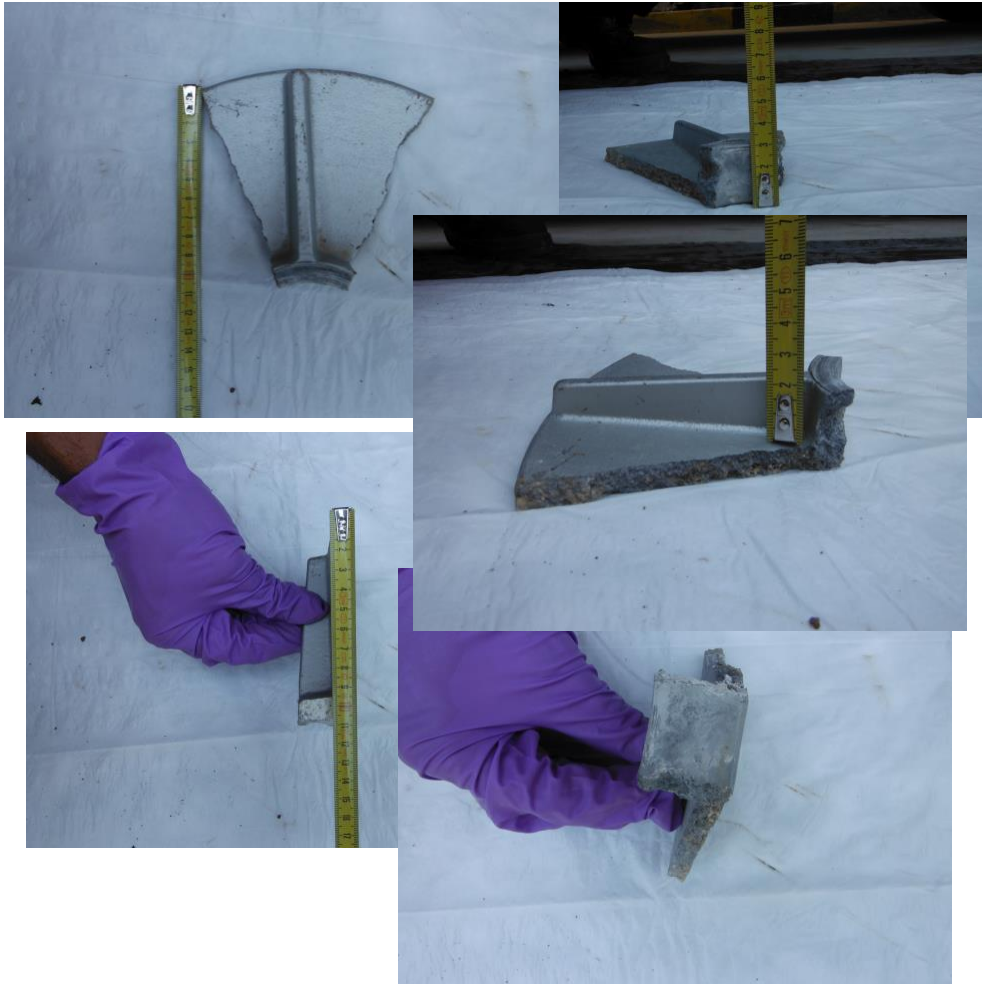
FIGURE A4.8 PHOTOGRAPH OF 01SDS(B)



12. 01SDS(B) is a large corroded and deformed metal object. Despite the corrosion, it is still possible to see layers of dark green and grey colour. It is also possible to see a smaller inner ring in the middle, linked by seven metal parts to a larger, outer ring. Four of the parts that are linking rings are rectangular. The other three are much larger and triangular. The spacing between the three parts, in addition to indications on the rings, point to one missing larger triangular part.

13. This is consistent with an aerial bomb tail fin assembly.

14. The FFM took numerous measurements of this item. Given the level of deformation, these measurements are only approximate dimensions. These approximate dimensions have not been included.

FIGURE A4.9 PHOTOGRAPH OF 02SDS(B)

15. 02SDS(B) does not bear traces of corrosion and appears to have a different material of construction to the other parts.

16. It is flat on one side with an enforcement rib on the other. The rough edges indicate it has been torn off of a larger, probably circular part. It is approximately 110 mm in length from the inner curve to the outer.

FIGURE A4.10 PHOTOGRAPH OF 03SDS(B)



17. It is heavily corroded however, on the lid of the circular part, and on the welding of the hook-shaped part it is possible to see traces of dark green paint. The circular part looks very similar to the circular part of sample 07SDS (see previously) and has very similar dimensions. The dimensions are therefore not repeated here.

18. The upper part has a circular lid still attached to the assembly. On the lid there are two symmetrical holes, most likely for a fork key or similar such tool used to tighten it. The other part is welded on the base material, to which is also attached a lug shaped piece of metal. The deformations are consistent with the item being torn off the main system.

FIGURE A4.11 PHOTOGRAPH OF 04SDS(B)

19. 04SDS(B) consists of very thick, heavy metal part and another thinner part, which looks like it is been partially peeled off the main body. The items are heavily corroded with dark discoloration on one side. Dimensions of the item are approximately 175 mm on the longer side with approximately 145 mm across, on the widest part. One side of the item is flat with only the bottom part bearing marks of violent splitting. Sides of the larger object are uneven and rough, probably the result of violent separation as well. Thickness of the object varies from approximately 40 mm to 50 mm for the larger part, and approximately from 4 mm to 10 mm at the peeled off part.